

# **Image Classification of real estate images with transfer learning**

OSKAR RÅHLÉN OCH SACHARIAS SJÖQVIST

Degree project in Computer Science

Date: May 12, 2019

Supervisor: Handledare

Examiner: Examinator

School of Electrical Engineering and Computer Science

Swedish title: Bildklassificering av fastighetsbilder med transfer learning



## **Abstract**

English abstract goes here

## **Sammanfattning**

Svenskt sammanfattning

# Contents

<b>1</b>	<b>Introduktion</b>	<b>1</b>
1.1	Syfte . . . . .	2
1.2	Frågeställning . . . . .	2
1.3	Avgränsningar . . . . .	2
<b>2</b>	<b>Bakgrund</b>	<b>3</b>
2.1	Maskininlärning . . . . .	3
2.2	Artificella neurala nätverk . . . . .	3
2.3	Neurala nätverk med konvolution . . . . .	5
2.3.1	Lager . . . . .	6
2.3.2	Tekniker inom djupinlärning . . . . .	7
2.3.3	Arkitekturer . . . . .	9
2.4	Transfer Learning . . . . .	11
2.4.1	ImageNet . . . . .	12
<b>3</b>	<b>Metod</b>	<b>14</b>
3.1	Datainsamling . . . . .	14
3.2	Implementation . . . . .	16
3.3	Mjukvara . . . . .	17
3.4	Hårdvara . . . . .	17
3.5	Evaluering . . . . .	17
<b>4</b>	<b>Resultat</b>	<b>18</b>
4.1	Balkonger . . . . .	18
4.1.1	Feature extraction . . . . .	18
4.1.2	Finetuning . . . . .	19
4.2	Eldstäder . . . . .	19
4.2.1	Feature extraction . . . . .	20
4.2.2	Finetuning . . . . .	20
4.3	Rum . . . . .	21

4.3.1	Feature extraction . . . . .	21
4.3.2	Finetuning . . . . .	22
<b>5</b>	<b>Diskussion</b>	<b>23</b>
5.1	Fortsatt forskning . . . . .	23
<b>6</b>	<b>Slutsats</b>	<b>24</b>
	<b>Bibliography</b>	<b>25</b>
<b>A</b>	<b>Appendix A</b>	<b>28</b>

# Chapter 1

## Introduktion

Just nu finns över 20 000 bostadsrätter [1] till salu på Sveriges största mäklarsite [2], där nästan hälften av dessa ligger i Stockholm. Dit kommer 2,8 miljoner unika besökare varje vecka och gör tillsammans över 2000 sökningar i minuten [2]. Detta ställer höga krav på filtreringsfunktionerna för att potentiella köpare snabbt ska kunna hitta sin drömbostad. Idag erbjuds redan filtreringsfunktionerna "antal rum", "boarea", "pris" samt "område". Det finns också en fritextsök där man kan söka på vad mäklaren skrivit i texten. Exempel på sökord är "balkong", "kakelugn" och "sjöutsikt".

Problemet med att söka i mäklartexter är att det tvingar mäklaren att i texten nämna samtliga attribut som han eller hon vill göra sökbara. Detta gör att vissa attribut kan bli utelämnade vilket i sin tur gör fritextrutan sämre.

Exempelvis går det ofta att se på mäklarbilderna om det finns en balkong eller kakelugn i objektet, men det är inte alltid mäklaren väljer att skriva detta i den löpande texten. Det hade därför varit intressant att utifrån mäklarbilderna automatiskt generera ett sökindex där varje bild knyts till ett antal attribut. Dessa attribut skulle sedan kunna användas för att lägga till filtreringsalternativ i sökfunktionen och därmed skapa en bättre användarupplevelse.

Det skulle också gå att använda sig av denna metod för att knyta attribut såsom skick och typ av rum (Sovrum, badrum eller kök) till varje bild. Kombinationen skulle göra sökningar såsom "Kök i gott skick" möjligt.

Denna data kan också vara användbar vid värdering av bostäder, då det enkelt skulle gå att jämföra priser på bostäder med olika attribut, till exempel lägenheter med sköutsikt mot lägenheter utan sköutsikt eller lägenheter med ett kök i gott skick mot lägenheter med ett kök i sämre skick.

VET INTE RIKTIGT HUR JAG SKA FORMULERA MIG HÄR!! Känns Som ett halvbra stycke För att på ett effektivt och precist sätt kunna knyta at-

tribut till mäklarbilder behöver man använda sig av någon form av automatisk bildbehandling. Detta går att göra med hjälp av maskininlärning och djupa neurala nätverk. Sättet som detta görs på är att man tränar ett antal bilder som innehåller det givna attributet och ett antal som inte innehåller attributet. Modellen tränas sedan med hjälp av ett djupt neuralt nätverk. Efter varje träning så testas modellen för att mäta hur många träningar som krävs för bästa resultat. När modellen är färdigtränad kan man använda denna genom att skicka in en bild som input och modellen berättar om bilden innehåller det givna attributet eller inte.

## 1.1 Syfte

Syftet med denna studie är att titta på hur olika maskininlärningsmetoder kan användas för att hitta relevanta nyckelord till bilder på lägenhetsannonser.

## 1.2 Frågeställning

Går det med nuvarande verktyg inom maskininlärning hitta attribut i bilder från lägenhetsannonser?

## 1.3 Avgränsningar

För att sätta en rimlig avgränsning på denna uppsats kommer tre olika sorters attribut undersökas och jämföras med tre olika sorters deeplearningmodeller. Attributen som kommer användas är "Balkong", "Kakelugn" samt "Typ av rum" (Kök, badrum eller sovrum) och deeplearningmodellerna som kommer användas är "keras", "smartAI", samt "blabla". Anledningen till att flera attribut eller flera sorters modeller inte valdes är att det är resurskrävande att samla in och sortera testdata samt att implementera modellerna. Anledningen till att färre inte valdes var för att få spridning på attributen och modellerna, för kunna svara på om klassificeringen fungerar i allmänhet och inte bara i enstaka testfall. En annan avgränsning som gjorts är att mäklarbilderna som används endast kommer från bostadsrätter, då det kan skilja sig ganska mycket på hur villor och bostadsrätter ser ut.



# Chapter 2

## Bakgrund

### 2.1 Maskininlärning

Maskininlärning är ett sätt att programmera datorer så de optimerar ett problem med hjälp av exempeldata eller tidigare erfarenhet [3]. Maskininlärning är ett aktivt forskningsfält inom datalogi. Lärandeprocessen för en maskininlärningsalgoritm kan se ut på följande sätt: Ett datorprogram har som uppgift att lära sig en förutbestämd uppgift  $T$ , hur väl den gör detta, algoritmens prestanda, är måttet  $P$ . Till sin hjälp har datorprogrammet tidigare erfarenhet  $E$ . Om prestandan  $P$  blir högre då vi tillför erfarenheten  $E$  till programmet, då lär sig programmet.

Maskininlärningsmodeller kan delas in i två kategorier, övervakat lärande (eng. supervised learning) och oövervakat lärande (eng. unsupervised learning) [4]. Vid övervakat lärande är erfarenheten  $E$  redan kategoriserad och uppmärkt för uppgiften  $T$ , vid oövervakat lärande så är den inte det. Ett exempel är en maskininlärningsmodell som har som uppgift  $T$  att kategorisera bilder i vissa förutbestämda kategorier. Vid övervakat lärande kommer erfarenhet  $E$  bestå av bilder som redan är uppmärkta med rätt kategori. Modellen ska då med hjälp av erfarenheten kunna kategorisera ny data som inte är uppmärkt.

### 2.2 Artificella neurala nätverk

En samling algoritmer inom maskininlärning med många tillämpningsområden är artificella neurala nätverk (ANN). Enligt Goodfellow, Bengio, and Courville [5] så var ANN från början ett försök till att bygga en digital modell av det biologiska neuronsystemet. Forskningen inom områden avvek dock snabbt från att efterlikna den biologiska varianten och fokuserade istället på

att öka prestandan på maskininlärningsproblem. De minsta byggstenarna i ANN, neuronen, fungerar fortfarande som dess biologiska variant. En neuron får signaler in och skickar sedan signaler ut via synapserna. Hur stark utsignalen bör vara simuleras i en dator med hjälp av vikter (eng. weights), även kallat för parametrar. Varje neuron i nätverket har sina tillhörande vikter. När ett ANN tränas så görs detta genom att justera dessa vikter [5]. De viktade insignalerna bör även nå upp till en viss tröskel för att en utsignal ska skickas, detta simuleras i ANN med aktiveringsfunktioner. ANN är en acyklisk graf som består av dessa artificiella neuroner.

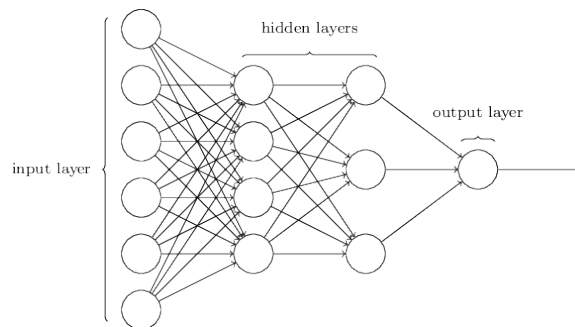


Figure 2.1: En illustration över ett artificiellt neuralt nätverk [6].

Ett ANN består först av ett indatalager (eng. input layer). Indatalagret representeras av en neuron per kännetecken (eng. features) i indatan. Då indata är bilder motsvarar en neuron i indatalagret en pixel i bilden. Indatalagret är sedan ihopkopplat med ett nytt lager med neuroner. Det kan vara flera lager efter varandra och dessa kallas för de gömda lagren (eng. hidden layers). De gömda lagren kan bestå av godtyckligt många neuroner och de behöver inte ha samma antal neuroner. Efter de gömda lagren kommer utdatalagret (eng. output layer). Antalet neuroner i utdatalagret bör motsvara formen på den utdata vi vill ha. Om modellen ska kategorisera bilder i tio olika kategorier, bör utdatalagret innehålla tio neuroner. Det är värdet dessa neuroner i utdatalagret har som är svaret från vårt ANN.

Ett ANN blir bättre på att utföra sin uppgift genom att ändra sina vikter. Detta sker i två steg, feed-forward pass och backward pass, även kallat för backpropagation [3]. Vid feed-forward skickas träningsdata (som kommer från tidigare erfarenhet  $E$ ) in i nätverket för att få ut ett svar. Då träningsdatan är uppmärkt så jämförs svaret från nätverket med det korrekta svaret. Utifrån antal fel och hur fel nätverket hade, beräknas en kostnad. Denna kostnad kan beräknas på olika sätt men vanligtvis används funktionen cross-entropy loss [5]. Målet är att träna modellen så denna kostnad blir så låg som möjligt. Nästa

steg är backward pass. Vi vill ändra vikterna så att kostnaden blir lägre, detta görs genom att beräkna gradienten av kostnaden med avseende på alla vikter. Vi tar sedan ett steg åt motsatt håll till gradienten för att minska kostnaden. Storleken på detta steg kallas för inlärningstakt (eng. learning rate).

Vanligtvis delas träningsdatan in i högar, vilket kallas för mini-batch [5]. Istället för att beräkna gradienten för varje datapunkt i träningsdatan så beräknas gradienten för en hel mini-batch för att sedan använda sig av en genomsnittlig gradient. En epok (eng. epoch) är när nätverket har gått igenom alla datapunkter i träningsdatan. Hur många träningssteg detta innefattar beror på antal datapunkter samt storleken på mini-batch.

### **Stochastic gradient descent**

Det finns olika algoritmer för exakt hur vikterna ska ändras när ett ANN tränas. En av de vanligaste algoritmerna är Stochastic Gradient Descent (SGD) [5]. Den bygger på feed-forward pass och backward pass men beräknar gradienten på ett fåtal slumpmässigt utvalda datapunkter istället för alla datapunkter i träningsdatan [7]. Anledningen är att effektivisera modellen så träningen går snabbare. En variant är mini-batch SGD, där samma principer appliceras på en mini-batch istället för på hela träningsdatan.

En vidareutveckling är SGD med momentum [8]. Algoritmen med momentum kommer ihåg förändringen av vikterna vid föregående iteration och baserar nästa uppdatering på en linjärkombination av gradienten och den tidigare förändringen. Denna teknik har fått stor genomslagskraft inom forskningen av ANN [9].

## **2.3 Neurala nätverk med konvolution**

Neurala nätverk med konvolution (eng. Convolutional Neural Network, CNN) är en viss typ av neurala nätverk som fungerar bra då indatan kan ses som ett rutnät [5]. Detta inkluderar data om tidsserier, som kan ses som ett endimensionellt rutnät, men också bilder, som kan ses som ett rutnät av pixlar. CNN introducerades för 20 år sedan men det har, på grund av begränsningar i hårdvara och arkitekturer, inte gått att träna djupa CNN förrän för några år sedan [10]. Enligt Huang et al. [10] har CNN idag blivit den dominanta tekniken inom maskininlärning för igenkänning av visuella objekt. Och enligt Simon, Rodner, and Denzler [11] är CNN som är förtränade på bilder från ImageNet grunden till majoriteten av state-of-the-art-modeller inom bildkategorisering.

### 2.3.1 Lager

Det finns några grundläggande lager som används i de flesta typer av CNN, oberoende av arkitektur. CNN kan användas för många olika typer av indata men vi har här valt att fokusera på dess tillämpningar med bilder. En vanlig uppbyggnad av ett CNN för bildkategorisering är indatalager, konvolutionslager, ReLU, föreningslager och sist ett FC-lager.

#### Indatalager

Detta lager innehåller pixelvärden från bilden som skickas in i nätverket. Vanligtvis används RGB-bilder, vilket betyder att varje pixel även har tre färgkanaler. Storleken på bilden beror på arkitektur men vanligast är formatet som används i ResNet-arkitekturen, vilket är 224 pixlar i höjd och 224 pixlar i bredd [12]. Storleken på tensor som innehåller indata motsvarande en bild har då storleken  $224 \times 224 \times 3$ . Alla arkitekturer som fått större spridning tar alltid en kvadratisk bild som indata.

#### Konvolutionslager

En konvolutionslager består av en godtycklig mängd filter med träningsbara vikter [13]. Varje filter är kvadratiskt och brukar vara små i höjd och bredd med samma djup som indatan till lagret. Ett exempel på filterstorlek är  $5 \times 5 \times 3$  [12]. Vid feed-forward pass så glider vi detta filter över bilden som är vårt indata. Vi beräknar skalärprodukten av filtret och den mängd pixlar av bilden som filtret ligger över. Efter beräkningen glider vi filtret åt sidan [14]. Vanligtvis skjuts filtret en pixel i taget, men det kan skilja mellan lager. Utdata från varje filter blir en tvådimensionell aktiveringskarta (eng. activation map). Höjd och bredd på utdatan från ett konvolutionslager beror på tre hypterparametrar: Antal filter, kliv (eng. stride) och nollutfyllnad (eng. zero padding). Antal filter motsvarar djupet på utdatan. Kliv bestämmer antal pixlar vi förflyttar oss vid varje glidning och nollutfyllnad avgör om vi skapar en ram runt indatan med nollor och i sådana fall hur tjock den ramen är. Klivstorlek och nollutfyllnad avgör dimensionerna på utdata.

#### Aktiveringslagret ReLU

Aktiveringslagret (eng. activation layer) består av en aktiveringsfunktion. Denna funktion ska motsvara den tröskel som finns i biologiska neuroner för att trigga en utsignal. En av de vanligaste aktiveringsfunktionerna inom djupinlärning

för bildkategorisering är Rectified Linear Units (ReLU) [12]. Aktiveringsfunktionen appliceras elementvis och ReLU applicerar funktionen

$$f(x) = \max(0, x) \quad (2.1)$$

på varje element i indatan till lagret. Det betyder att varje element som är positivt är opåverkat och varje negativt värde får värdet noll. Storleken på datan blir oförändrad.

### Föreningslager

Ett föreningslager (eng. pooling layer) applicerar en nedsampling (eng. down-sampling) på indata [12]. Detta sker längs de spatiala dimensionerna bredd och höjd. Vanligtvis sker detta för att minska antalet parametrar i nätverket och för att minska beräkningskraften som behövs för att träna nätverket. Det är även en teknik för att undvika överanpassning (eng. overfitting). Det som främst används inom CNN är max pooling. Det är när ett förutbestämt område, till exempel 2 x 2 pixlar, sammanfattas genom att det högsta värdet av dessa fyra pixlar väljs ut. Max pooling med filter i storlek 2 x 2 och klivstorlek 2 är vanligt förekommande. Indata minskar då i storlek med 75%.

### FC-lager

Det lager som är vanligt förekommande i traditionella neurala nätverk är FC-lagret (eng. Fully-connected layer) [12]. I detta lager har varje neuron en koppling till alla aktiveringar från det tidigare lagret. Dessa neuroner har tillhörande träningsbara vikter, som vanligtvis sparas i en matris [5]. Detta möjliggör även effektiva implementationer med matrismultiplikation. Storleken på utdata beror på storleken på viktmatrisen. I CNN är det vanligt förekommande att det sista lagret är ett FC-lager som byggs på det sättet att formen på utdata motsvarar antal kategorier modellen ska kunna kategorisera i. Ett exempel är att om en bild ska klassificeras bland tio klasser, så kan utdata från sista lagret ha formen 10 x 1.

FC-lager som används i slutet av nätverk brukar även kombineras med ett softmax-lager. Ett softmax-lager gör att de olika utdatavärdena kan ses som en distribution [5].

## 2.3.2 Tekniker inom djupinlärning

Det har uppkommit vissa tekniker inom djupinlärning som inte är en del av arkitekturer inom CNN men som ofta används med moderna modeller för

att uppnå höga resultat. Två populära tekniker är batch-normalisering och dataförstärkning.

### **Batch-normalisering**

Att träna djupa neurala nätverk är komplicerat då distributionen av varje lagers indatavärden förändras under träning [15]. Detta leder till att träningen av nätverket tar längre tid, då vi behöver använda långsammare inlärningstakt. Det leder också till att viktinitieringen blir väldigt finkänslig. Enligt Ioffe and Szegedy [15] kallas detta fenomen för internal covariate shift och löses genom att normalisera indata till varje lager. Metoden bygger på att normaliseringen blir en del av arkitekturen och där en normalisering sker för varje mini-batch av vårt träningsdata. Denna typ av batch-normalisering tillåter oss att använda högre inlärningstakt och gör att initieringen av vikterna inte blir lika kritisk. Det fungerar även som regularisering (eng. regularization), vilket gör att andra tekniker för regularisering kan uteslutas.

Batch-normalisering har visat sig vara extra viktigt för lyckad träning och för att större nätverk ska konvergera, nätverk som VGG19 [11]. Det har även visat sig att den högre inlärningstakten, som batch-normalisering tillåter, leder till en högre slutlig noggrannhet än vad som annars hade varit möjligt [11]. Tidigare experiment har visat att detta har fungerat både bland annat AlexNey och VGG19 [11].

### **Dataförstärkning**

Djupa neurala nätverk behöver en stor mängd data för att lära sig effektivt. Insamlingen av denna data är oftast dyrt och tidskrävande. Dataförstärkning (eng. data augmentation) löser detta genom att öka datamängden artificiellt genom att göra förändringar på befintlig data [16]. Det har visat sig att generell dataförstärkning leder till ökad prestanda på de flesta CNN. En viktig del av dataförstärkningen är att indata fortfarande ska tillhöra samma klass som den tillhörde innan. Inom bildkategorisering sker förändringen med geometriska och fotometriska transformationer. Geometriska transformationer ändrar geometrin i bilden med målet att vårt CNN ska vara oberoende av objektets position eller orientering. Dessa transformationer inkluderar att flippa, beskära, skala och rotera bilden. Fotometriska transformationer förändrar istället färgkanalerna och målet är att vårt CNN ska vara oförändligt till skillnader i belysning och färg.

### 2.3.3 Arkitekturer

Här presenteras ett urval av de mest betydelsefulla arkitekturerna inom CNN för bildkategorisering. En tydlig trend är att CNN har fått fler lager, blivit djupare, med tiden. Från LeNet [17] med fem lager, till VGG med 19 lager [18] och Residual Networks (ResNet) med över 100 lager [19]. Ett problem med detta är att viktig information i indata försvinner innan det hinner nå slutet av nätverket [10]. Det har därför kommit arkitekturer som försöker lösa detta problem. ResNet löser det genom att förbikoppla vissa lager med identitetsskopplingar. DenseNet skapar istället flera olika förbikopplingar inne i nätverket.

#### ResNet

ResNet är en arkitektur för CNN som består av konvolutionslager, föreningslager och FC-lager [19]. ResNet finns i olika varianter, från ResNet18 till ResNet152, och skillnaden är storleken på nätverket, där ResNet18 består av 18 lager. Efter utvecklingen av djupare CNN så nådde till slut ett tak för hur kraftfulla modellerna kunde vara. ResNet är en lösning på det här problemet som introducerar identity shortcut connections. Det betyder att det finns kopplingar som hoppar över vissa konvolutionslager, vilket betyder att om nätverket tycker att vissa lager är onödiga så kan den helt enkelt skippa dessa. Anledningen till namnet är att dessa kopplingar skickar vidare identiteten av indatan till nästkommande lager. Dessa kopplingar leder till att nätverken kan göras oändligt stora utan prestandaförlust, för modellen kan alltid använda identiteten. Modeller med dessa residuala funktioner ska även vara enklare att optimera [19]. ResNet-modellen tar RGB-bilder i storleken 224 x 224 pixlar som indata och målet är att kategorisera bilden bland 1000 kategorier från ImageNet. ResNet18 består först av ett konvolutionslager och sedan ett max pooling-lager. Därefter kommer en stack med konvolutionslager där det även sker en nedsampling med föreningslager. De sista lagren består av ett föreningslager av typen average pooling, ett FC-lager med utdata 1 x 1000 och ett softmax-lager.

#### Alexnet

Alexnet är en enklare variant av CNN, vann tävlingen ILSVR 2012 och består av totalt åtta lager [12]. De första fem lagrena är konvolutionslager, där vissa av dem även applicerar max pooling efteråt. De tre sista är FC-lager, där det sista har utdataformen 1 x 1000 för att motsvara klasserna i ImageNet. På detta sista

FC-lager appliceras även softmax. Aktiveringsfunktionen i modellen är ReLU och indata består av RGB-bilder med storleken  $224 \times 224$ . Konvolutionslagren använder sig av filter i storlekarna  $11 \times 11$ ,  $5 \times 5$ ,  $3 \times 3$ . Nätverket tränades ursprungligen med SGD med momentum.

### VGGNet

Enligt [18] så har VGG högre noggrannhet än Alexnet och uppnådde år 2015 state-of-the-art noggrannhet på ILSVRCs klassificering och lokaliseringssuppgifter. Alla konvolutionslager i modellen följer samma design som de i Alexnet [18].

Enligt [18] ser arkitekturen ut som följande: Under träning så består indata av RGB-bilder av fixerad storlek  $224 \times 224$ . Den enda förbehandlingen är att medelvärdet av RGB-värdena som beräknas på träningsmängden subtraheras från varje pixel. Bilden skickas sedan igenom en stack av konvolutionslager med filter av storlek  $3 \times 3$ . I en av konfigurationerna används även  $1 \times 1$ -filter, som kan ses som en linjär transformation av indatakanalerna. Klivstorleken är 1 pixel och nollutfyllnaden beror på filterstorlek, men ska se till att indata och utdata är i samma storlek. Exempelvis så är nollutfyllnaden 1 pixel vid  $3 \times 3$ -filter. Spatial pooling sker med fem stycken max-pooling lager efter vissa av konvolutionslager. Det är dock inte alla konvolutionslager som följs av max pooling. Max-pooling sker med ett  $2 \times 2$ -filter med klivstorlek 2. En stack av konvolutionslager, som är olika djup beroende på vilken typ av VGG, följs sedan av tre stycken FC-lager. De första två har 4096 kanaler var och det sista har 1000-kanaler, för att motsvara klasserna i ILSVRC-problemet. Det sista lagret är ett soft-max-lager. Alla gömda lager är utrustade med ReLUs icke-linjäritet.

### Densenet

Tidigare forskning har visat att nätverk bestående av konvolutionslager kan vara djupare, ha högre noggrannhet och kan vara mer effektiva att träna om det finns kortare vägar mellan indata och utdata [10]. Därför skapades DenseNet, vilket kopplar ihop varje lager i nätverk med varje lager framför, vilket betyder att alla lager har en direkt koppling till lagren framför. Det betyder att om ett traditionellt nätverk med konvolutionslager har totalt  $L$  antal lager, så har det även  $L$  kopplingar. DenseNet har istället  $L(L + 1)/2$  antal direkta kopplingar. Enligt [10] så har DenseNet uppnått signifikanta förbättringar på Cifar-10 och ImageNet jämfört med andra state-of-the-art-modeller. DenseNet har olika intern arkitektur beroende på storlek. Gemensamt är dock att indata består av RGB-bilder av storlek  $224 \times 224$ . Därefter kommer en stack med konvolution-



slager där första lagret har filterstorlek  $7 \times 7$  och klivstorlek 2. Efterkommande konvolutionslager kommer i par, där det första i paret har storlek  $1 \times 1$  och den andra har filterstorlek  $3 \times 3$ , klivstorlek 1 och nollutfyllnad för att behålla storleken på indata. Mellan dessa lager sker först max-pooling med storlek  $3 \times 3$  och klivstorlek 2 och sedan average pooling med storlek  $2 \times 2$  och klivstorlek 2. Sista lagret, som är klassificeringslagret, består av global average pooling med storlek  $7 \times 7$  och ett FC-lager med 1000 kanaler samt ett soft max-lager.

### Inception

Inception har en mycket lägre beräkningskostnad än VGG [20]. Detta har lett till att den används i big-data-sammanhang, där modeller med större beräkningskraft inte har kunnat användas. Inception-v2 tar som indata RGB-bilder i storleken  $299 \times 299$ , vilket är större än de andra arkitekturerna. Inception-v2 består av en stack med konvolutionslager där alla har filterstorlek  $3 \times 3$  med klivstorlek 1 eller 2. Det finns även mellan konvolutionslagren ett max pooling med storlek  $3 \times 3$  och kliv 2. Nollutfyllnad är så data ska behålla storleken. Därefter kommer tre stycken inception-lager. Ett inception-lager är ett lager som kombinerar resultatet från flera olika konvolutionslager i olika storlekar (vanligtvis  $1 \times 1$ ,  $3 \times 3$  och  $5 \times 5$ ) ihop med ett max pooling-lager. Efter inception-lagren kommer klassificeringslagren som består av ett max pooling med storlek  $8 \times 8$ , ett FC-lager med 2048 kanaler och sist ett FC-lager med 1000 kanaler med softmax.

Inception-v2 är unikt då det består av två utdatalager vid träning [20]. Det primära lagret är ett linjärt lager i slutet av nätverk medan det sekundära lagret kallas för auxiliary output. Vid testning så används bara det primära lagret och vid tränings så används båda lagren i kostnadsfunktionen.

## 2.4 Transfer Learning

Enligt [21] så har många djupa neurala nätverk som har tränats på naturliga bilder visat att de har en gemensam sak. Det är att i de första lagren så lär de sig egenskaper som motsvarar Gabor-filter och färgklickar. Gabor-filter är ett typ av filter som används för att beskriva textur. Det har även visat sig att hur vikterna i dessa första lager är beror inte på någon specifik datamängd eller uppgift utan är istället generell oberoende på datamängd. Dessa egenskaper behöver sedan formas från generella till specifika egenskaper för den specifika datamängden [21]. Detta sker i de sista lagren, men exakt vart det sker har inte studerats tillräckligt. De första lagrena kallas därför för generella och det sista

för det specifika.

Det intressanta med generella och specifika lager är att det blir möjligt att implementera transfer learning. I transfer learning så tränar vi först ett basnätverk på en bas-datamängd och en basuppgift för att sedan överföra de tränade vikterna till ett annat målnätverk som tränas med mål-datamängden och måluppgiften [21]. När måldatamängden är mycket mindre än basdatamängden så kan detta vara ett kraftfullt verktyg för att träna ett stort nätverk utan överanpassning. Vanligaste sättet är att träna ett basnätverk och sedan kopiera över dess  $N$  första lager till de  $N$  första lagren i målnätverket. De övriga lagren i målnätverket initieras slumpmässigt och tränas sedan för måluppgiften. Man kan välja att även träna de kopierade lagren när man tränar nätverket för måluppgiften. Det kallas för att finjustera (eng. finetuning) lagren till den nya uppgiften. Man kan även låta bli att träna de kopierade lagren utan istället bara träna det sista klassificeringslagret. Detta kallas för att frysa lagren och brukas kallas för feature extraction.

Om det är bäst att träna alla lager (finetuning) eller frysa de kopierade lagren och träna sista lagret (feature extraction) beror på storleken på måldatamängden samt antal parametrar i de första  $n$  lagren. Om måldatamängden är liten och antal parametrar är stort, så leder finetuning oftast till överanpassning. Det är då bättre med frysta lager. Om måldatamängden däremot är stor eller om antal parametrar är litet så kan finjustering användas för att få en högre noggrannhet än vad som hade varit möjlig med frysta lager [21].

### 2.4.1 ImageNet

ImageNet Large Scale Visual Recognition Challenge (ILSVRC) är en utmaning som testar algoritmer för objektigenkänning och bildkategorisering i stor skala [22]. En anledning till detta är att utveckla en stor datamängd som redan är uppmärkt, för att minska barriär för att utveckla bättre modeller genom att ta bort processen med att märka upp bilder. Den andra anledningen är att mäta utveckling för datorseende. Huvudutmaningen består i att bestämma vilken klass en bild tillhör av 1000 klasser. ImageNet är en bilddatabas med uppmärkta bilder som används i tävlingen. Databasen består av strax över 1.2 miljoner bilder [23].

Det har blivit väldigt vanligt att för-träna ett bildigenkänningsnätverk på ImageNet för att det ska lära sig bra generella egenskaper [23]. Man använder då utmaningen ILSVRCs 1000 kategorier som basuppgift för att bygga upp ett basnätverk. Detta har visat sig fungera väldigt bra i många områden. Anledningen till detta diskuteras men både att basdatamängden är stor och att

basuppgiften består av många olika kategorier är två anledningar som tillför till dess generella egenskaper [23].

# Chapter 3

## Metod

Vi har valt att utföra tre olika experiment. Det första experimentet är en binär klassificering, där vi bygger en modell som kan avgöra om en bild innehåller en balkong eller inte. Det andra experimentet är också en binär klassificering där vi avgör om bilden innehåller en eldstad eller inte. Det sista experimentet är av typen multiklass, vilket betyder att vi vill kategorisera bilden i flera olika kategorierna. De olika kategorierna består av tre olika rum, vilka är kök, badrum och sovrum.

### 3.1 Datainsamling

Datainsamlingen bestod av att samla in bilder på lägenheter från mäklare som kunde kategoriseras under våra kategorier: balkong, eldstad, kök, badrum och sovrum. Vi behövde dock också även bilder från lägenhetsannonser som kunde motsvara den motsatta kategorien i de binära experimenten. Vi använde ett pythonbibliotek [24] för att ladda ner bilder via Google bildsökning. Vi kunde då fylla i sökord, från vilken domän bilderna fick komma ifrån, antal bilder vi ville ladda ner och av vilken typ bilderna skulle vara. Bilderna laddades sedan ner automatiskt och hamnade i en uppmärkt mapp. Vi laddade ner 400 bilder för varje nyckelord, då det var det högsta antalet som var möjligt på grund av begränsningar i Google bildsökning. Vi valde att alla bilder skulle vara av typen foto. Vi sökte på nedanstående nyckelord, både med domänen begränsad till <https://hemnet.se> och utan domänbegränsningar:

- balkong hemnet
- balkong vasastan

- balkong inspiration
- hemnet vardagsrum
- hemnet badrum
- hemnet braskamin
- hemnet öppen spis
- vardagsrum braskamin
- hemnet hall
- hemnet kök
- hemnet uteplats

För att kategorisera, bearbeta och bli av med brus i bilderna så följde vi sedan följande process:

1. Vi skrev ett pythonprogram som gick igenom alla bilder och försökte öppna bilderna. Gick inte det så raderades bilden. Detta för att bli av med korrupta filer.
2. Alla bilder beskärs sedan till 500 pixlar i bredd med ImageMagick [25]. Detta för att underlätta databearbetningen. Maxupplösning vi behöver senare är 299 pixlar så detta påverkar inte resultatet från modellerna.
3. Vi gick sedan igenom bilderna la dem i följande mappar: balcony, indoor, fireplace, no\_fireplace, kitchen, bathroom och bedroom. Samma bild kunde hamna i flera mappar, så länge de inte skulle användas med de binära modellerna.
4. Alla bilder som vi bedömde inte var bilder från lägenheter i mäklaranonser raderas.
5. Alla bilder med för låg upplösning raderades.
6. Därefter splittade vi bilderna i varje kategori i två delar, en för träning och en för validering. De första 80% av bilderna placerades i en mapp för träning och de resterande 20% i en mapp för validering. Valideringsdatan användes sedan för att mäta noggrannheten på de färdigtränade modellerna.

Table 3.1: Antal bilder i varje kategori

Kategori	Träning	Validering	Totalt
balcony	558	139	697
indoor	486	122	608
fireplace	382	96	478
no_fireplace	205	51	256
kitchen	256	64	320
bathroom	208	52	260
bedroom	291	73	364

I första experimentet använde vi bilder från kategorierna balcony och indoor. I andra experimentet använde vi fireplace och no\_fireplace. I tredje experimentet använde vi kitchen, bathroom och bedroom. Antal bilder i varje kategori efter rensning kan ses i tabell 3.1.

## 3.2 Implementation

Experimentet bestod av att träna flera olika djupinlärningsmodeller och mäta och jämföra deras noggrannhet och träningstid. Som hjälp användes biblioteket PyTorch [26] och en del av dess standardbibliotek torchvision. Från torchvision importerades samtliga modeller förtränade på bilder från ImageNet. Arkitekturerna som användes i samtliga tester är:

- ResNet18
- Alexnet
- VGG-11 med batch-normalisering
- Densenet-121
- Inception v3

Vid varje experiment ersattes det sista FC-lagret på samtliga modeller, för att ha samma antal utdatakanaler som experimentet krävde. Vid de binära experimentet var det två kanaler och vid multiklass-experimentet var det tre kanaler. Dessa nya lager initierades med slumpmässiga parametrar.

Experimentet använde sig av dataförstärkning med inbyggda metoder i PyTorch. Indata vid träning beskärs slumpmässigt enligt indataspecifikationerna

för varje arkitektur, flippades horisontellt slumpmässigt och normaliserades sedan enligt samma värden som modellerna blivit förtränade på. Indata vid validering beskärs för korrekta mått med centerfokusering och normaliserades enligt samma värden.

Varje modell tränades med alla lager frysta utan det tillagda FC-lagret (feature extraction) och med alla lager icke-frysta (finetuning). Modellerna tränades för 30 epoker, då förexperiment visade att förtränade modeller konvergerar långt innan detta. Om vi såg tendenser under experimentet att detta inte sker, så tillåter vi att fler epoker körs. Batchstorleken är 32. Som kostnadsfunktion används CrossEntropyLoss och som optimeringsalgoritm används stochastic gradient descent med momentum. Parametern för momentum har ett värde på 0.9 och båda funktionerna är från PyTorchs standardbibliotek.

### 3.3 Mjukvara

Alla experiment utfördes i en JupyterLab-miljö på plattformen Floydhub [27] med Python 3.6 och PyTorch 1.0.0. För bearbetning av datan samt presentering av resultat användes även biblioteken numpy och matplotlib.

### 3.4 Hårdvara

Hårdvaran som användes var en GPU av modell Tesla K80 med 12GB arbetsminne, 4 stycken vCPUs, 61GB RAM och 200GB SSD diskutrymme.

### 3.5 Evaluering

Efter varje epok under träning så beräknades både kostnaden från kostnadsfunktionen samt modellens noggrannheten på både träningsdatan och valideringsdatan. Efter träningen skapar vi två grafer över denna data samt plockar ut den högsta noggrannheten som modellen hade på valideringsdatan. Vi använder sedan dessa kostnads- och noggrannhetsgrafer för att jämföra modellerna och se hur många iterationer modellerna behövde tränas för att uppnå maximal noggrannhet samt se hur volatila modellerna var emellan epoker. Även träningstid för de 30 epokerna sparades, för att även jämföra detta mellan modellerna.

# Chapter 4

## Resultat

Här presenteras prestandan per modell och attribut.

Resultatet består av fyra figurer per modell. Varje figur innehåller i sin tur 5 olika grafer, en för varje arkitektur. De första två figurerna visar hur kostandsfunktionen och nogrannheten beter sig för varje epoch där alla lager utom det sista är fruset (Feature Extraction). De två senare figurerna visar hur kostandsfunktionen och nogrannheten beter sig för varje epoch där inget lager är fruset (Finetuning). I varje graf jämförs valideringsdatan mot träningsdatan.

Med grund i graferna som beskrivs ovan finns en tabell som visar prestanda samt hur lång tid det tog att träna modellen.

### 4.1 Balkonger

Nedan presenteras resultatet av den binära klassificeringen av balkonger i mäklarbilder.

#### 4.1.1 Feature extraction

Figur A.1 visar hur kostnaden för både tränings och valideringsdatan förändras efter varje epoch. I de flesta grafer faller kostnadsfunktionen vesäntligt under de fem första epochsen och stabiliseras därefter. Den som sticker ut är alexnet som är mer ojämn.

I figur A.2 går det att se hur träffsäkerheten förändras efter varje epoch. I samtliga grafer utom Alexnet blir träffsäkerhetskruvan relativt stabil efter fyra epochs. Alexnet är däremot mer volatil men är trots detta inte den modell som presterar sämst.



Modell	Tid	Max. noggrannhet
Resnet	3m 37s	94.63
Alexnet	3m 18s	94.27
VGG-11	6m 21s	93.86
Densenet	5m 59s	96.94
Inception V3	9m 04s	95.80

Table 4.1: Sammanställning av feature extraction för balkonger

Tabell 4.1 visar att samtliga arkitekturer presterar ungefär lika bra på testadatan. Däremot är det väldigt olika hur lång tid det tar att träna modellen. Inception V3 tar till exempel tre gånger längre tid att träna jämfört med Alexnet.

### 4.1.2 Finetuning

Kostnadsfunktionerna för de olika arkitekturerna visas i figur A.3 och träffsäkerheten i figur A.4.

Dessa funktioner beter sig på ett liknande sätt som de gjorde i feature extraction, med en inledningsvis skarp kurva som planar ut efter 3-4 epochs.

Modell	Tid	Max. noggrannhet
Resnet	06m 06s	96.56
Alexnet	03m 37s	95.41
VGG-11	15m 55s	97.32
Densenet	13m 55s	97.70
Inception V3	21m 54s	98.09

Table 4.2: Sammanställning av finetuning för balkonger

Tabell 4.2 visar att den bästa modellen är Inception V3 har en träffsäkerhet på 98%. Denna tar dock betydligt längre tid att träna än övriga arkitekturer. Största skillnaden mellan arkitekturerna är ungefär tre procentenheter, precis som i feature extraction.

Även i denna körning presterar Alexnet sämst, men tar samtidigt betydligt mindre tid att träna än övriga arkitekturer.

## 4.2 Eldstäder

Nedan presenteras resultatet av den binära klassificeringen av eldstäder i mäl-larbilder.

### 4.2.1 Feature extraction

Kostnadsfunktionen för tränings och valideringsdata finns i figur A.5 och träffsäkerheten i figur A.6. I dessa figurer visas det på samma sätt som för balkonger olika grafer för olika arkitekturer.

Kostnadsgraferna i figur A.5 rör sig samtliga grafer utom Inception V3 rör sig kurvorna kraftigt upp och ner för varje epoch. Inception V3 har däremot en mer stabil kurva. Detta återspeglar sig dock inte i träffsäkerhetsgraferna i figur A.6 där Inception V3 likt övriga kurvor är volatilt.

I träffsäkerhetskurvorna tar det i samtliga fall utom Alexnet runt 25 epochs innan maximum nås, medan alexnet endast behöver 15 epochs för att nå sitt maximum.

Modell	Tid	Max. noggrannhet
Resnet	02m 06s	80.50
Alexnet	01m 55s	80.50
VGG-11	03m 45s	77.35
Densenet	03m 35s	73.58
Inception V3	05m 15s	79.24

Table 4.3: Sammanställning av feature extraction för eldstäder

Tabell 4.3 visar att alexnet, den klart sämsta arkitekturen när balkongmodeller tränades, här är delad förstaplats i träffsäkerhet och går snabbast att träna. Samtidigt visar det sig att densenet som tidigare var en av de bättre arkitekturerna nu har det klart lägsta resultatet.

### 4.2.2 Finetuning

Graferna för klassificeringen av eldstäder med finetuning visas i figur A.7 och A.8 där den första visar kostnadsfunktionen och den senare visar träffsäkerheten.

Kostnadsfunktionen för valideringsdata blir inte särskilt mycket mindre än när den startade, utan ligger kvar på samma nivå eller ökar i samtliga arkitekturer. Detta skiljer sig starkt mot kostnadsfunktionerna i figur A.5 (Feature extraction för eldstäder) där kostnaden i de första epochsen snabbt blir lägre.

Tabell 4.4 visar att det är relativt stor spridning på resultaten för de olika arkitekturerna. Mellan den arkitektur som presterar bäst (Densenet) och den som presterar sämst (Alexnet) är det åtta procentenheter. Finetuning har ett högre maximum i träffsäkerhet än feature extraction, dock presterade arkitekturerna resnet och alexnet bättre under feature extraction.

Modell	Tid	Max. noggrannhet
Resnet	03m 31s	79.24
Alexnet	02m 08s	77.35
VGG-11	08m 56s	81.13
Densenet	07m 55s	85.53
Inception V3	12m 54s	83.64

Table 4.4: Sammanställning av finetuning för eldstäder

## 4.3 Rum

Nedan presenteras resultatet av klassificering av rum i mäklarbilder. Rummen som klassificeras är badrum, sovrum och kök.

### 4.3.1 Feature extraction

Vi kan se kostnaden för både tränings och valideringsdata i figur A.9 för varje epoch. Vi kan även i figur A.10 se hur träffsäkerheten för de olika modeller var på rum.

Kostnadsfunktionen för valideringsdata är i Alexnet volatil. I övriga kostnadsfunktioner rör sig kurvan snabbt nedåt för att sedan plana ut.

Träffsäkerhetsgraferna för resnet, densnet och inception v3 rör sig på motsatt sätt mot kostnadsgraferna, då kurvan snabbt rör sig uppåt under de första epochsen för att sedan plana ut. Alexnet graf rör sig också på ett motsatt sätt som sin kostnadsfunktion. VGG är däremot anmärkningsvärt, då den redan under den första epochen nått sitt maximum för att sedan dala något.

Modell	Tid	Max. noggrannhet
Resnet	02m 33s	93.75
Alexnet	02m 18s	93.22
VGG-11	04m 31s	93.75
Densenet	04m 20s	96.87
inception V3	06m 28s	93.75

Table 4.5: Sammanställning av feature extraction för rum

Enligt tabell 4.5 är träffsäkerheten för samtliga grafer över 93%. Den arkitektur som utmärker sig är densenet då den presterar ungefär tre procentenheter bättre än alla andra.

### 4.3.2 Finetuning

Kostnadsfunktionen för klassificering av rum i finetuning visas i figur A.11 och träffsäkerheten i figur A.12.

Kostnadsgraferna är relativt lika kostnadsgraferna för feature extraction då samtliga kurvor utom alexnet rör sig snabbt nedåt till en början för att sedan plana ut. Alexnet är även här volatil.

Träffsäkerhetsgraferna resnet, vgg och inception rör börjar på en relativt hög nivå efter den första epochen för att under senare epochs endast öka lite. Densenet däremot ökar markant under de första epochsen för att sedan plana ut. Alexnet rör sig fram och tillbaka runt 90%.

Modell	Tid	Max. noggrannhet
Resnet	04m 16s	96.35
Alexnet	02m 34s	94.79
VGG-11	11m 02s	97.91
Densenet	09m 53s	97.91
Inception V3	16m 10s	97.39

Table 4.6: Sammanställning av finetuning för rum

Enligt tabell 4.5 presterar densenet och VGG-11 bäst och Alexnet sämst. Skillnaden mellan den bästa arkitekturen och den sämsta är ungefär tre procentenheter.

Finetuning har ett något högre maximum än feature extraction. I båda fall är det arkitekturen Densenet som presterar bäst, dock tar det mer än dubbelt så lång tid att träna med finetuning och skillnaden är ungefär en procentenhet.

# Chapter 5

## Diskussion

Diskutera resultatet och hur olika delar kan ha påverkat eller påverkade. Diskutera eventuell framtida forskning. Begränsningar med resultatet. Etiska aspekter. Hållbarhet.

### 5.1 Fortsatt forskning

Vid värdering så är det också intressant att få ut attribut, så kan man räkna med det i värderingskalkylen.

# **Chapter 6**

## **Slutsats**

Slutsats av vad vi kom fram till.

# Bibliography

- [1] *Hemnet statistik*. [Online; accessed 12-May-2019]. 2019. URL: <https://www.hemnet.se/statistik>.
- [2] *Om hemnet*. [Online; accessed 12-May-2019]. 2019. URL: <https://www.hemnet.se/om>.
- [3] Ethem Alpaydin. *Introduction to machine learning*. MIT press, 2009.
- [4] Kevin P Murphy. *Machine learning: a probabilistic perspective*. MIT press, 2012.
- [5] Ian Goodfellow, Yoshua Bengio, and Aaron Courville. *Deep Learning*. <http://www.deeplearningbook.org>. MIT Press, 2016.
- [6] Michael A Nielsen. *Neural networks and deep learning*. Vol. 25. Determination press San Francisco, CA, USA: 2015.
- [7] Léon Bottou. “Large-scale machine learning with stochastic gradient descent”. In: *Proceedings of COMPSTAT’2010*. Springer, 2010, pp. 177–186.
- [8] Ning Qian. “On the momentum term in gradient descent learning algorithms”. In: *Neural networks* 12.1 (1999), pp. 145–151.
- [9] Ilya Sutskever et al. “On the importance of initialization and momentum in deep learning”. In: *International conference on machine learning*. 2013, pp. 1139–1147.
- [10] Gao Huang et al. “Densely connected convolutional networks”. In: *Proceedings of the IEEE conference on computer vision and pattern recognition*. 2017, pp. 4700–4708.
- [11] Marcel Simon, Erik Rodner, and Joachim Denzler. “Imagenet pre-trained models with batch normalization”. In: *arXiv preprint arXiv:1612.01452* (2016).

- [12] Alex Krizhevsky, Ilya Sutskever, and Geoffrey E Hinton. “Imagenet classification with deep convolutional neural networks”. In: *Advances in neural information processing systems*. 2012, pp. 1097–1105.
- [13] Yann LeCun, Yoshua Bengio, et al. “Convolutional networks for images, speech, and time series”. In: *The handbook of brain theory and neural networks* 3361.10 (1995), p. 1995.
- [14] Kaiming He et al. “Spatial pyramid pooling in deep convolutional networks for visual recognition”. In: *IEEE transactions on pattern analysis and machine intelligence* 37.9 (2015), pp. 1904–1916.
- [15] Sergey Ioffe and Christian Szegedy. “Batch normalization: Accelerating deep network training by reducing internal covariate shift”. In: *arXiv preprint arXiv:1502.03167* (2015).
- [16] Luke Taylor and Geoff Nitschke. “Improving deep learning using generic data augmentation”. In: *arXiv preprint arXiv:1708.06020* (2017).
- [17] Yann LeCun et al. “Gradient-based learning applied to document recognition”. In: *Proceedings of the IEEE* 86.11 (1998), pp. 2278–2324.
- [18] Karen Simonyan and Andrew Zisserman. “Very deep convolutional networks for large-scale image recognition”. In: *arXiv preprint arXiv:1409.1556* (2014).
- [19] Kaiming He et al. “Deep residual learning for image recognition”. In: *Proceedings of the IEEE conference on computer vision and pattern recognition*. 2016, pp. 770–778.
- [20] Christian Szegedy et al. “Rethinking the inception architecture for computer vision”. In: *Proceedings of the IEEE conference on computer vision and pattern recognition*. 2016, pp. 2818–2826.
- [21] Jason Yosinski et al. “How transferable are features in deep neural networks?” In: *Advances in neural information processing systems*. 2014, pp. 3320–3328.
- [22] Olga Russakovsky et al. “ImageNet Large Scale Visual Recognition Challenge”. In: *International Journal of Computer Vision (IJCV)* 115.3 (2015), pp. 211–252. doi: 10.1007/s11263-015-0816-y.
- [23] Minyoung Huh, Pulkit Agrawal, and Alexei A Efros. “What makes ImageNet good for transfer learning?” In: *arXiv preprint arXiv:1608.08614* (2016).



- [24] Vasa, Hardik. *Google Images Download Github Repository*. [Online; accessed 8-May-2019]. 2019. URL: <https://github.com/hardikvasa/google-images-download>.
- [25] *ImageMagick*. [Online; accessed 8-May-2019]. 2019. URL: <https://imagemagick.org/index.php>.
- [26] Adam Paszke et al. “Automatic differentiation in PyTorch”. In: *NIPS-W*. 2017.
- [27] *Floydhub*. [Online; accessed 8-May-2019]. 2019. URL: <https://www.floydhub.com>.

**Appendix A**

**Appendix A**

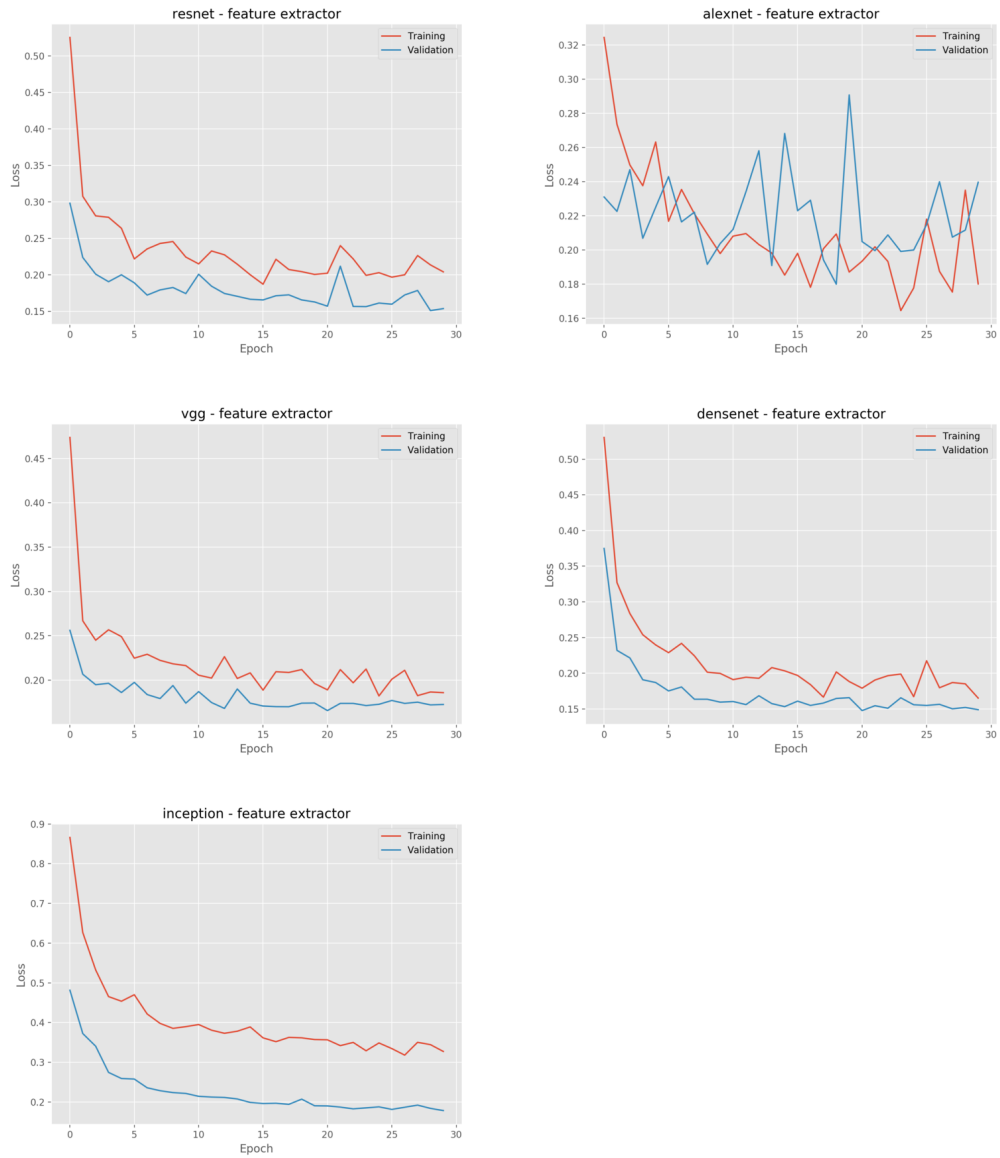


Figure A.1: Kostnaden vid varje epoch för balkonger med feature extraction

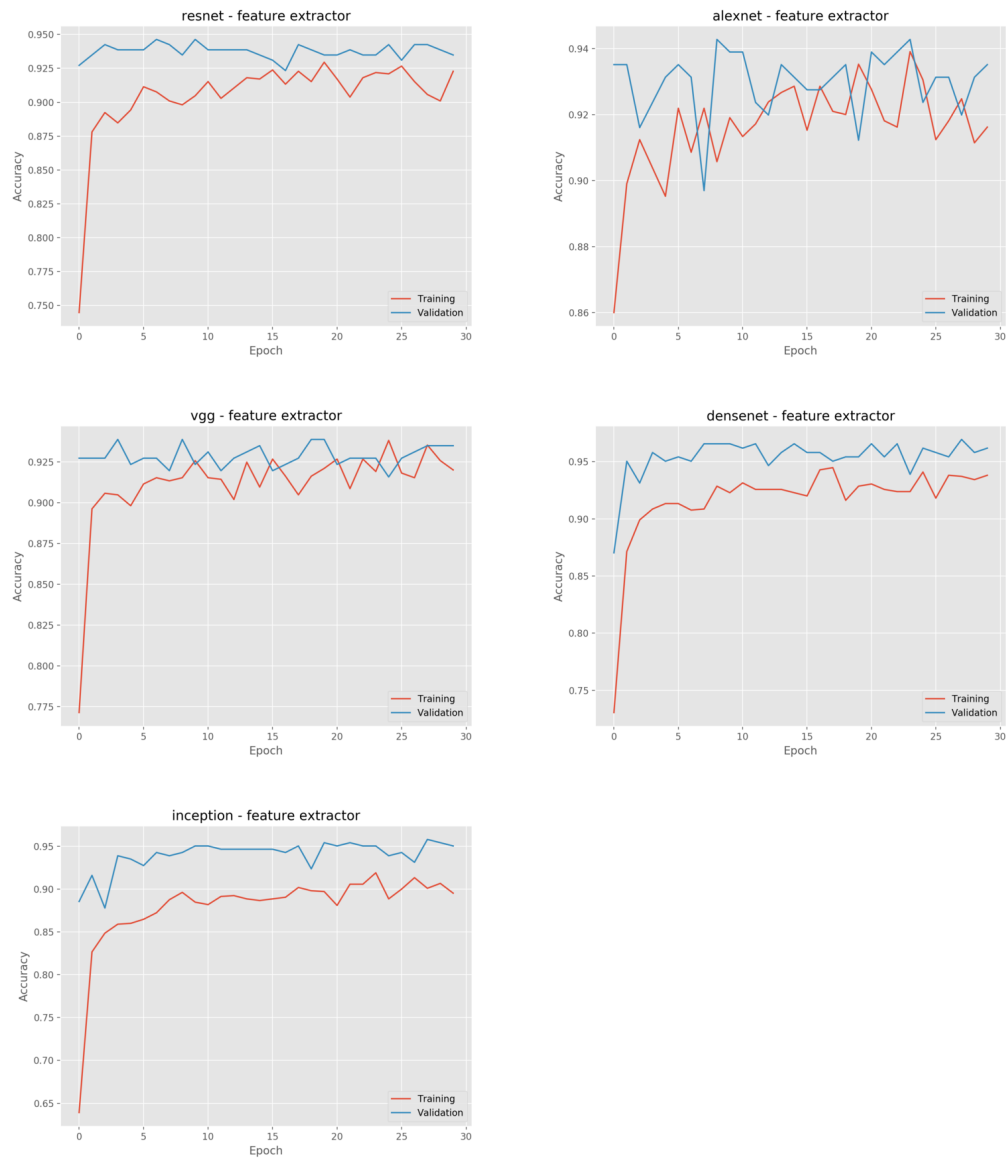


Figure A.2: Träffsäkerhet för balkonger med feature extraction

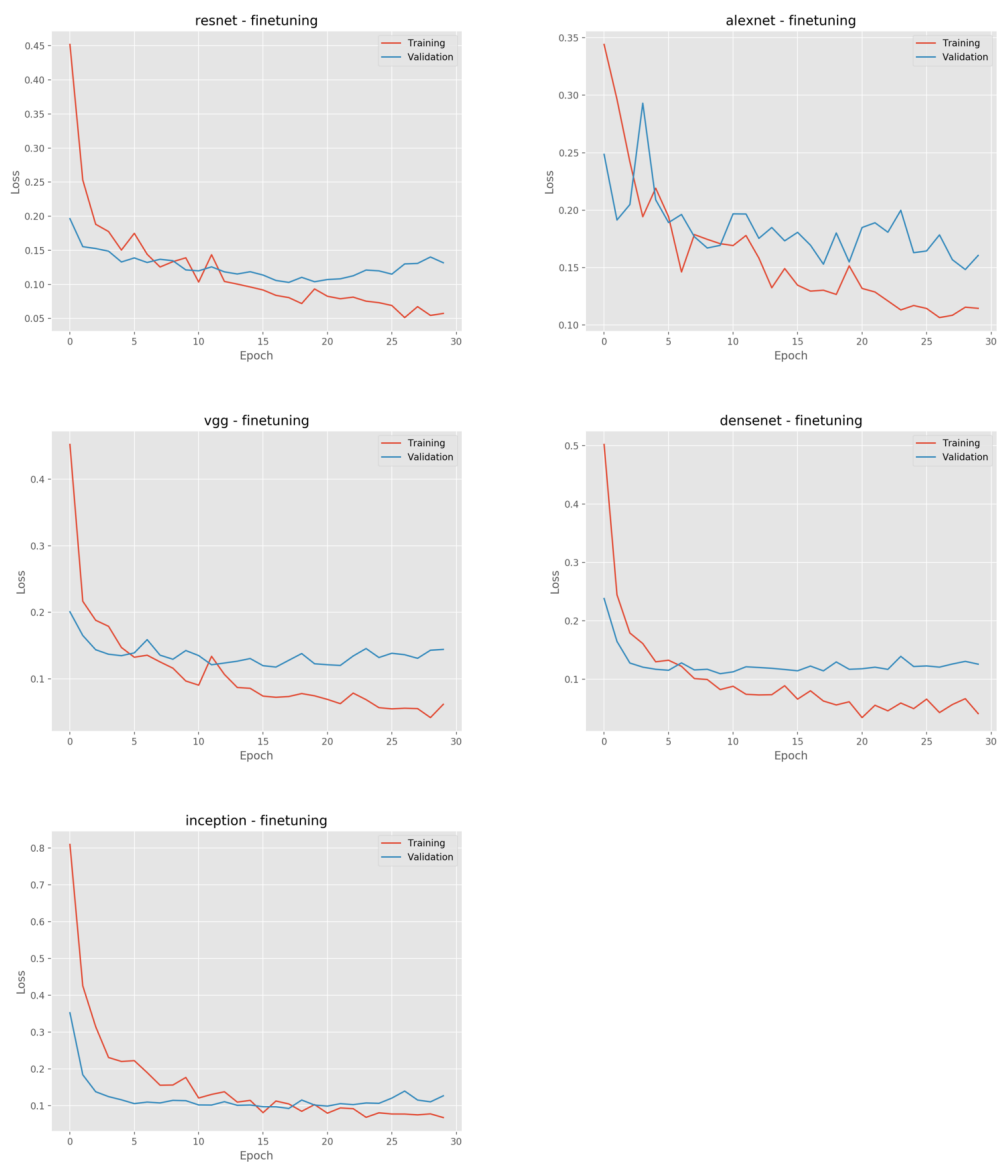


Figure A.3: Kostnaden vid varje epoch för balkonger med finetuning

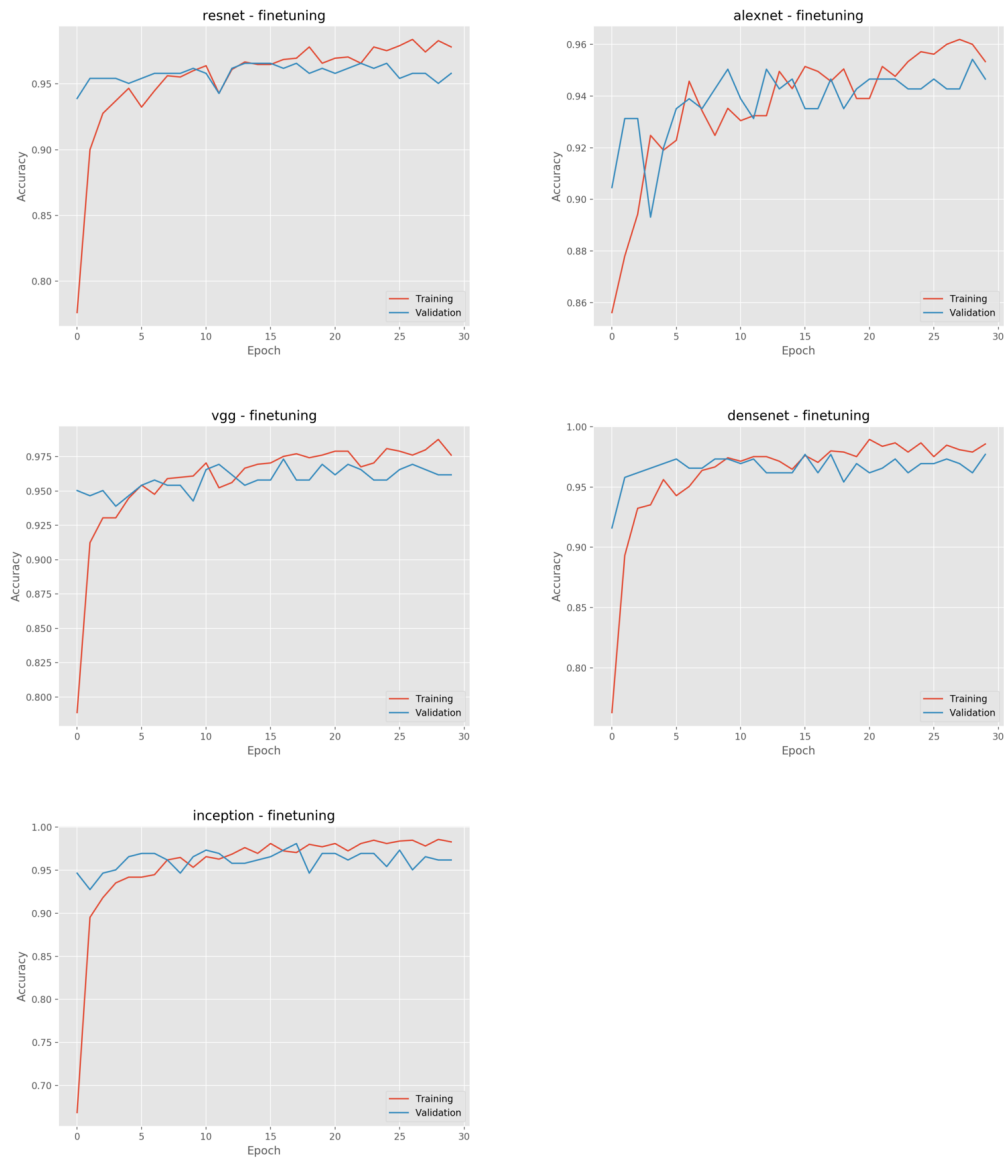


Figure A.4: Träffsäkerhet för balkonger med finetuning

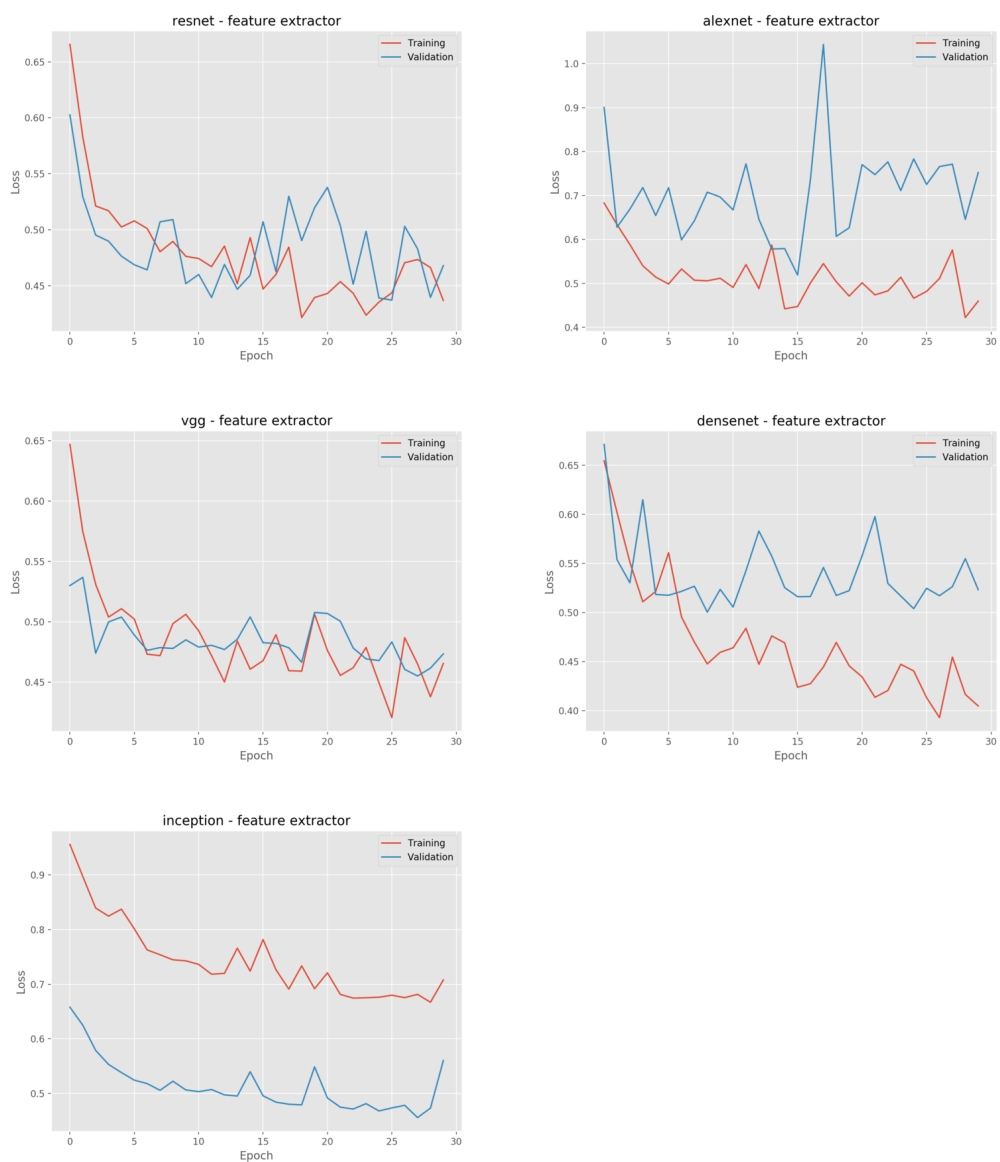


Figure A.5: Kostnaden vid varje epoch för eldstäder med feature extraction

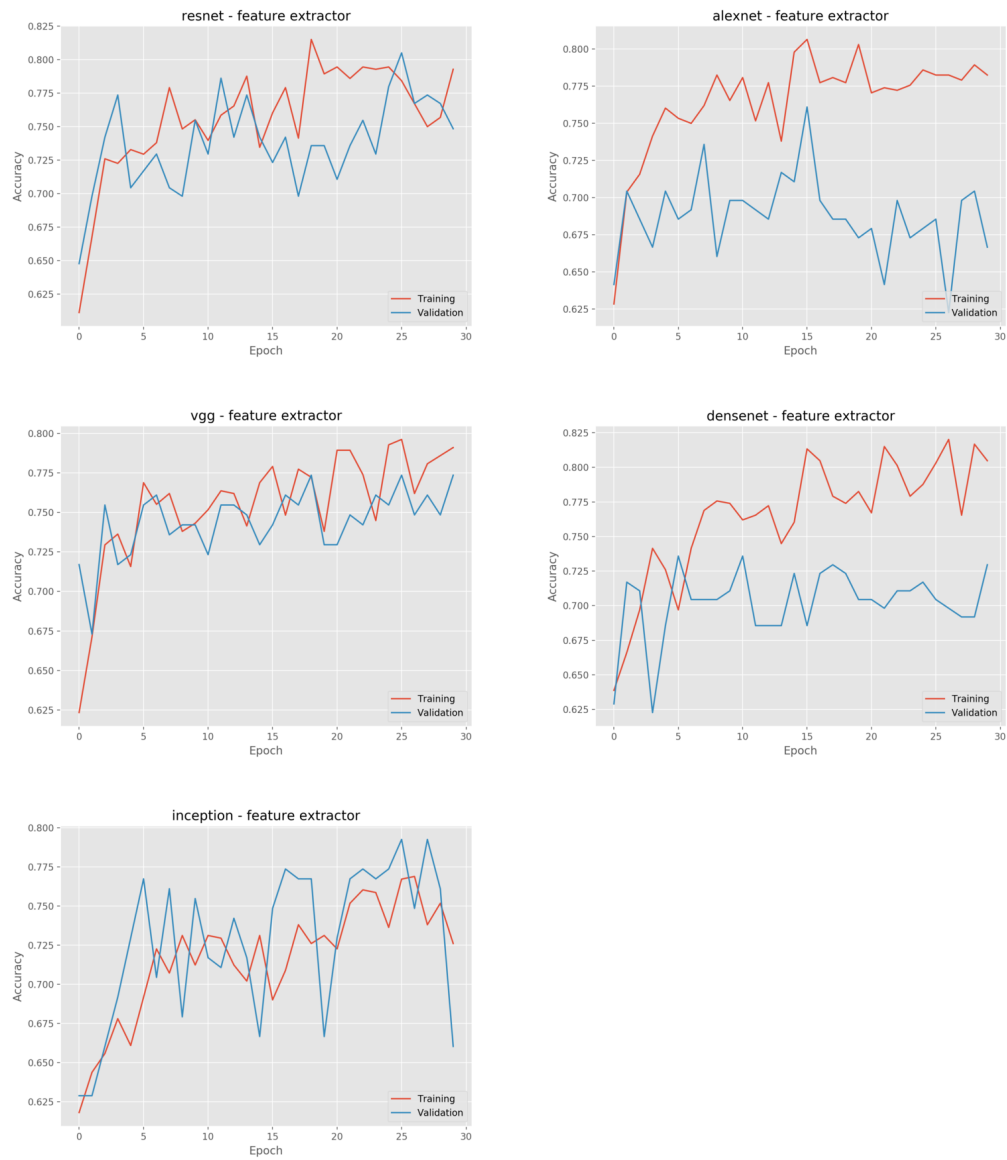


Figure A.6: Träffsäkerhet för eldstäder med feature extraction



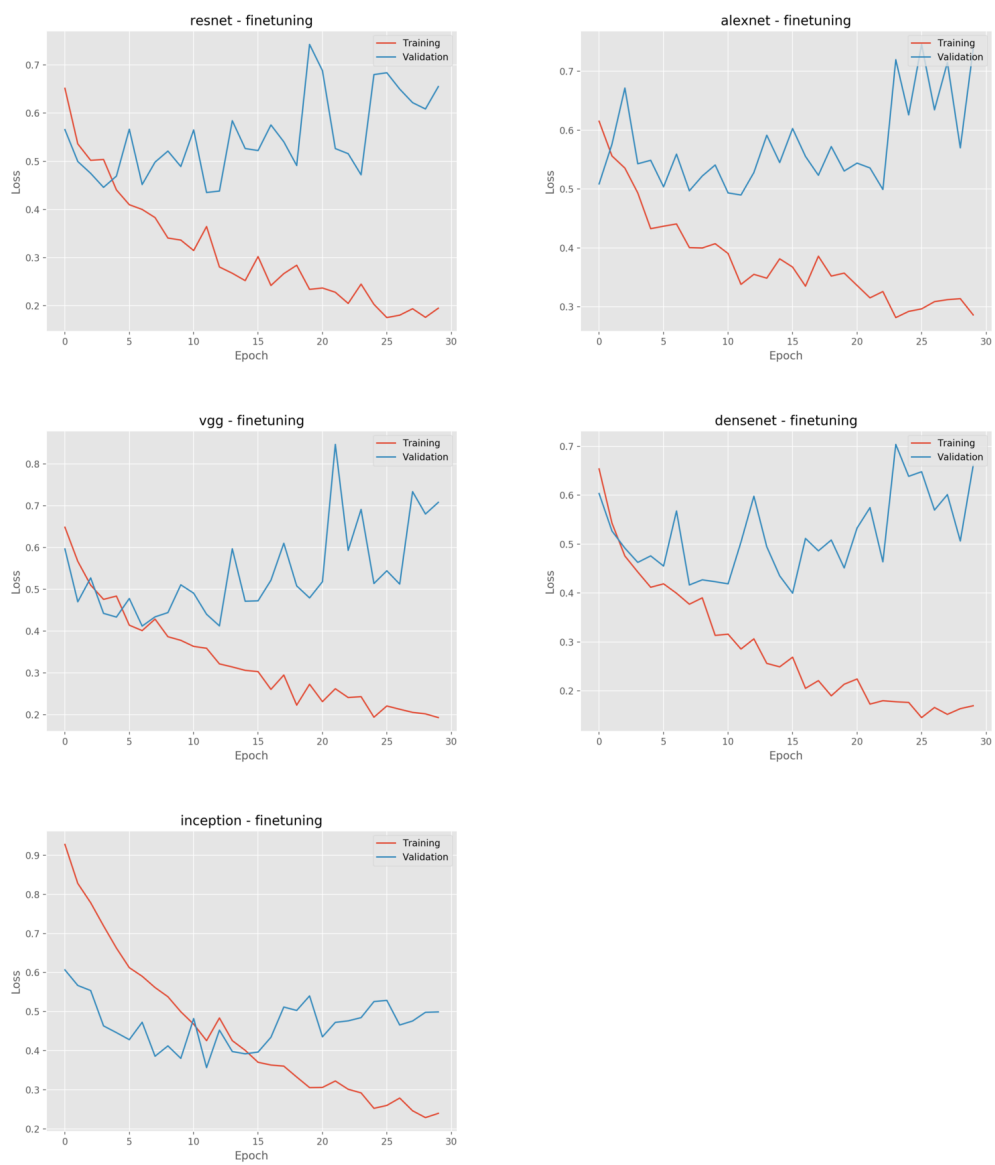


Figure A.7: Kostnaden vid varje epoch för eldstäder med finetuning

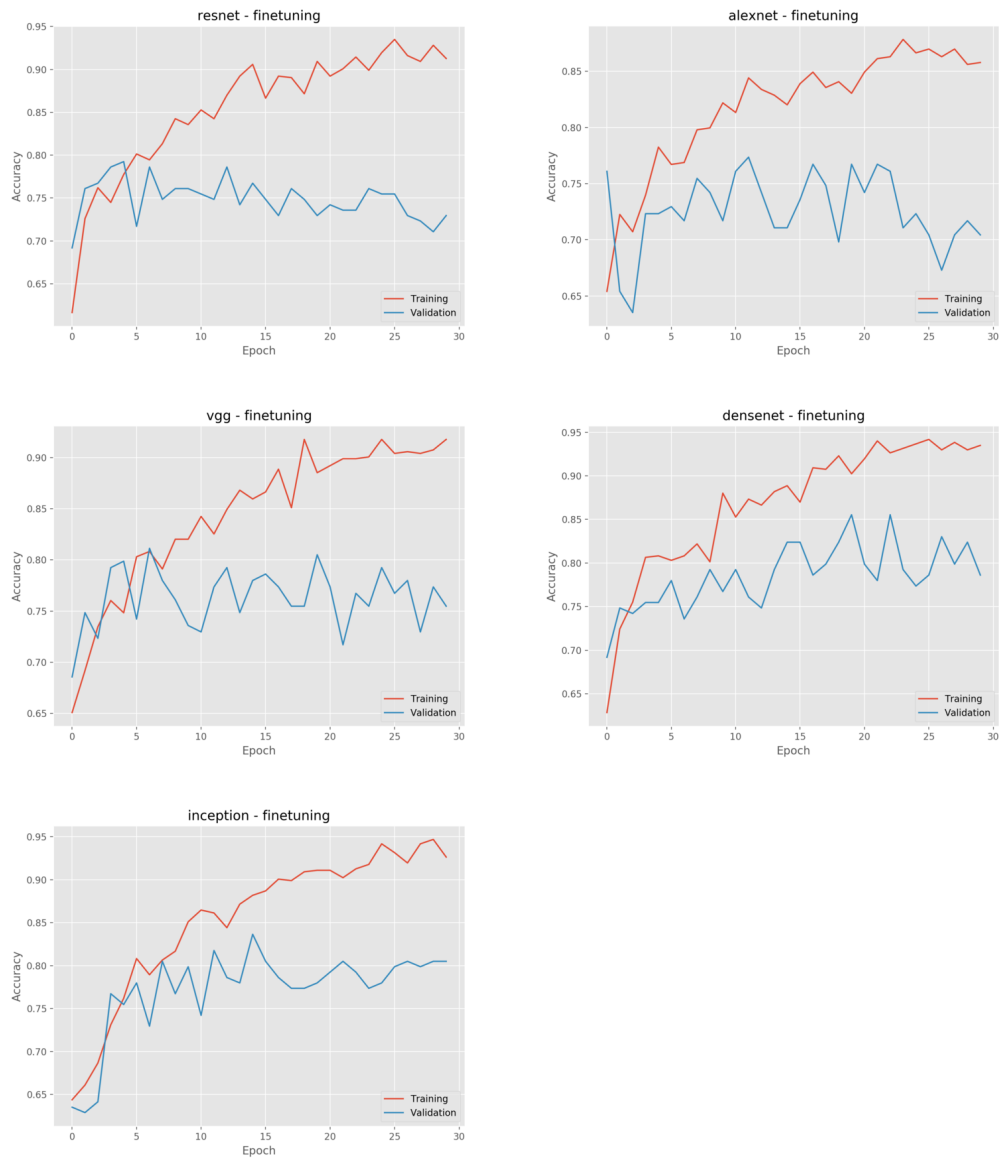


Figure A.8: Träffsäkerhet för eldstäder med finetuning

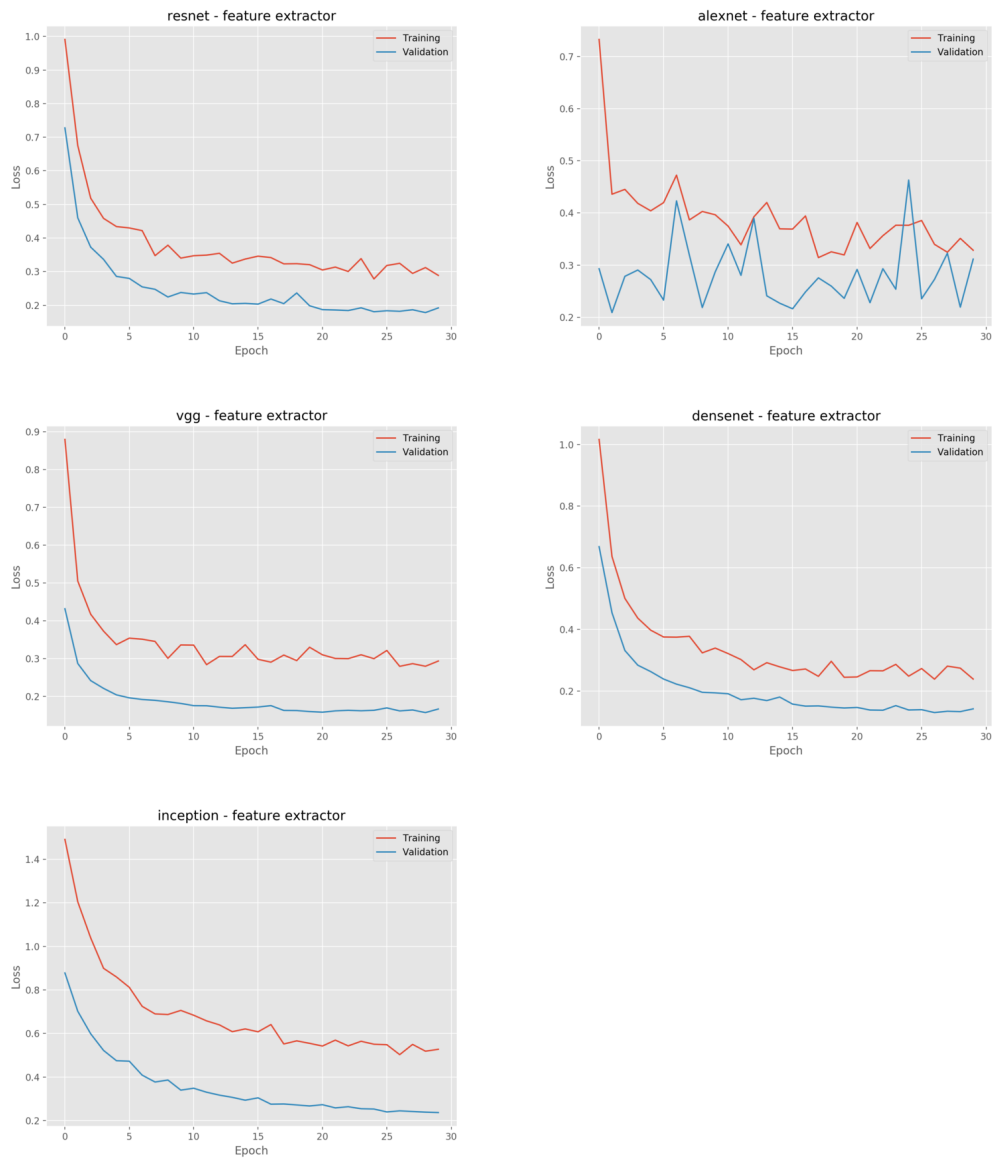


Figure A.9: Kostnaden vid varje epoch för rum med feature extraction

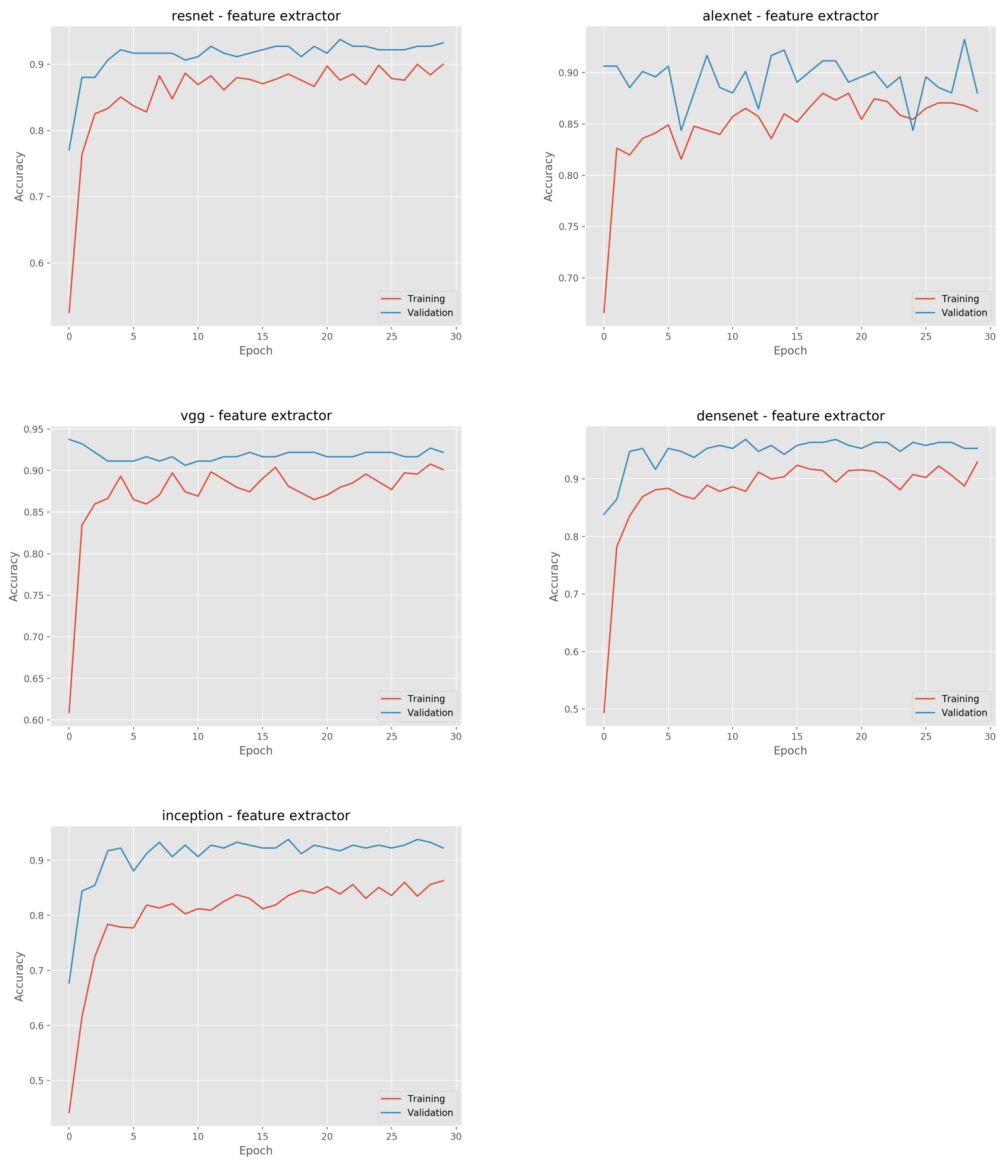


Figure A.10: Träffsäkerhet för rum med feature extraction

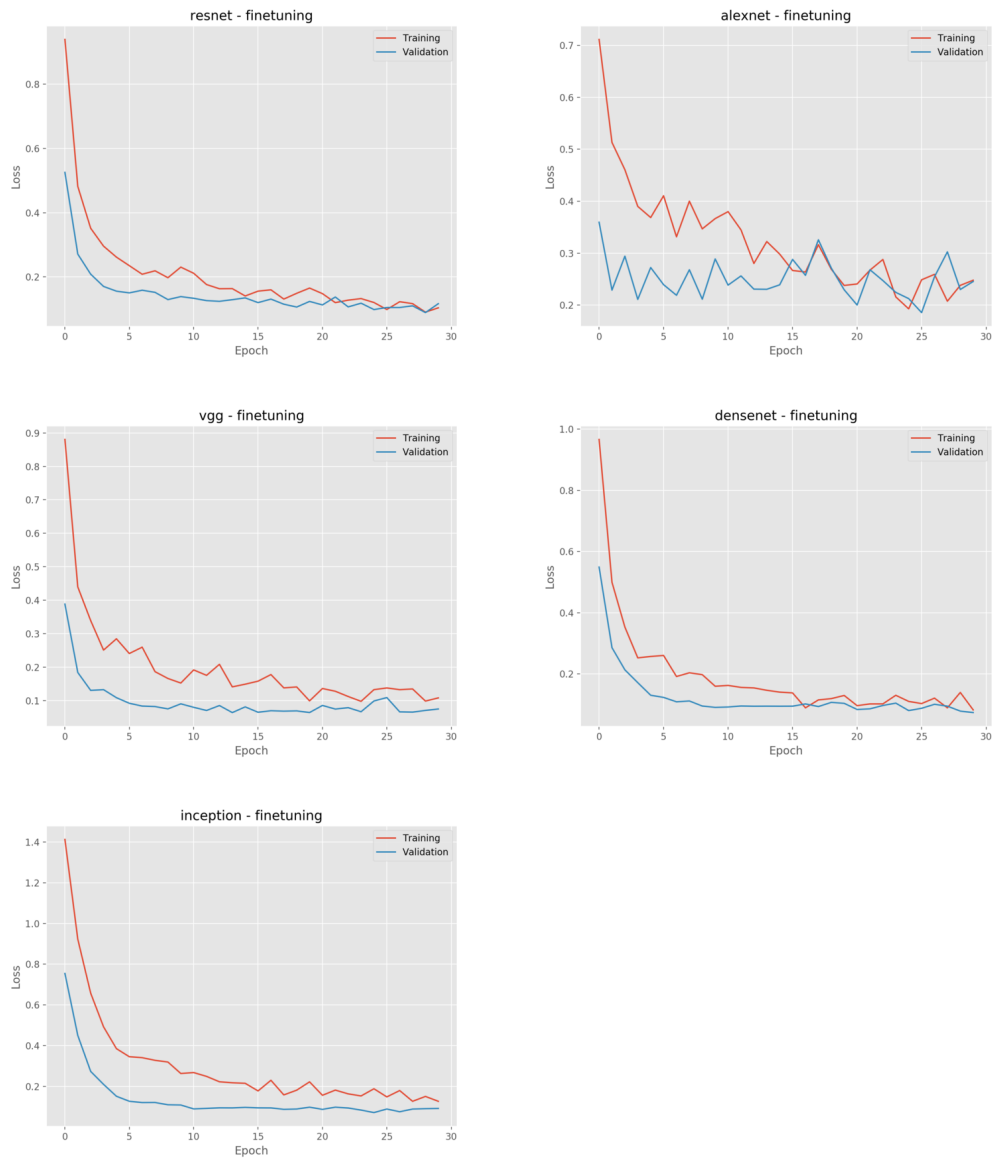


Figure A.11: Kostnaden vid varje epoch för rum med finetuning

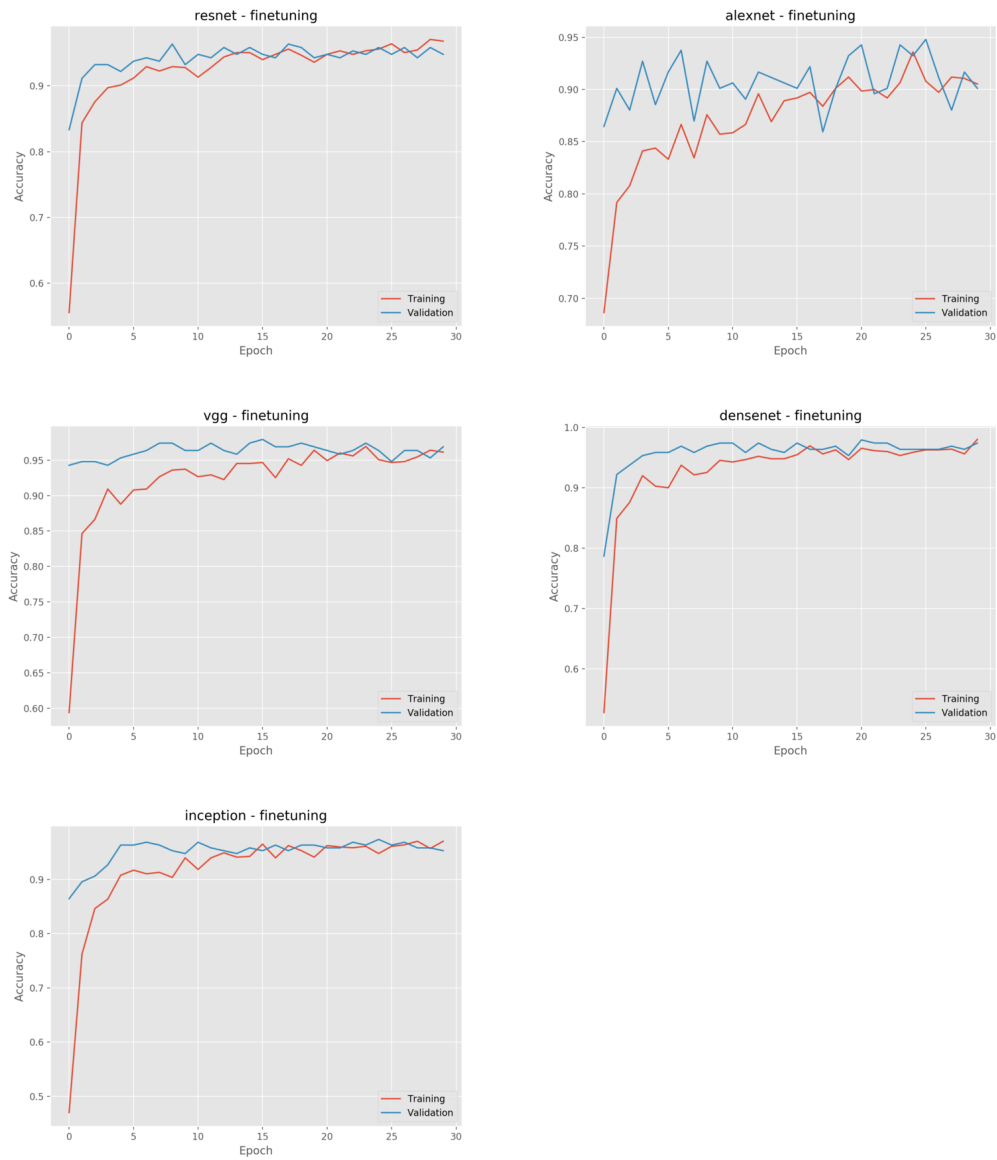


Figure A.12: Träffsäkerhet för rum med finetuning